

# DAS5210 - Introdução ao Controle de Processos

## Prova 1

José Fernando Rosa Ribeiro

### Questão 1

Em nosso sistema, desejamos controlar a velocidade angular  $\omega(t)$  do eixo de rotação de um motor através da manipulação da tensão do circuito de acionamento  $u(t)$ . A descrição do sistema consta nas instruções da prova, motivo pelo qual não será objeto desse relatório. A nossa variável de controle aqui é  $\omega(t)$ , e atuaremos sobre a variável manipulada  $u(t)$  a fim de obter os valores desejados de  $\omega(t)$ , nunca deixando de levar em conta eventuais perturbações do sistema, aqui representados por  $q(t)$ .

A fim de iniciar, precisamos montar o sistema não linearizado no ambiente de modelagem de sistemas dinâmicos Simulink. A planta de malha aberta que obtive é a que se segue. É importante ressaltar que esse modelo nada mais é do que uma representação no ambiente de modelagem das equações fornecidas.

Além disso, resalto que, como uma perturbação,  $q(t)$  contribui negativamente com o equilíbrio do sistema. Por este motivo, a entrada do somador a que  $q(t)$  está ligada é negativa. Perturbações são sinais que podem interagir com o processo que estamos modelando a ponto de interferir no controle do sistema de controle em questão. A fim de garantir a qualidade do controle exercido, pode ser necessário levá-las em conta no desenho do nosso sistema.

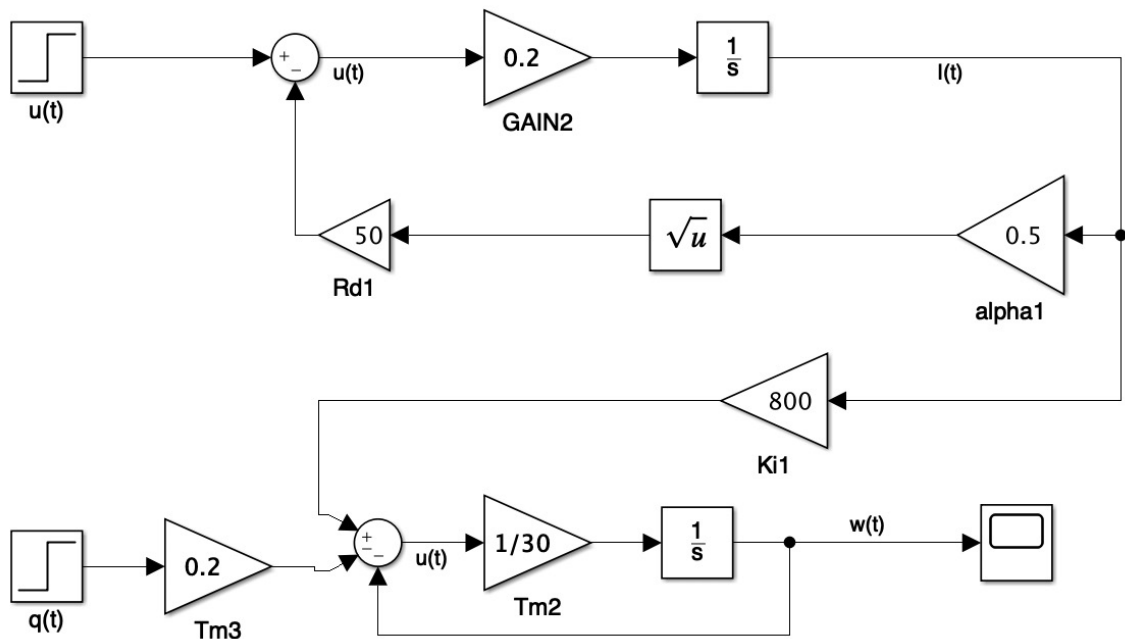


Figura 1: Diagrama do sistema não-linearizado no Simulink.

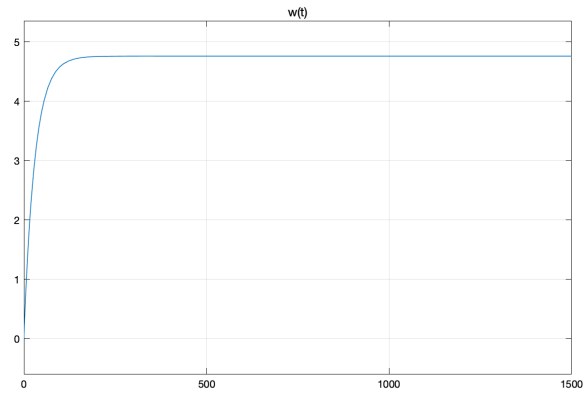


Figura 2: Gráfico da variação de  $w(t)$  com  $u(t)=5$  e degrau  $q(t-1)=5$

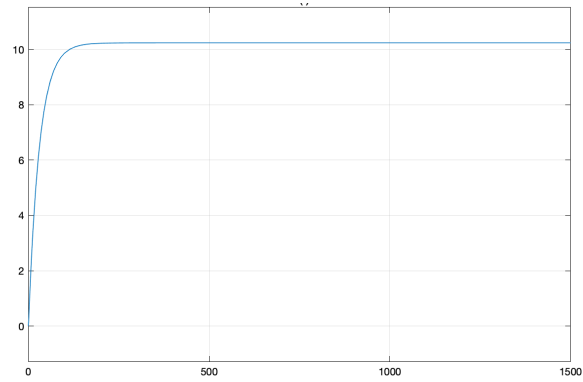


Figura 3: Gráfico da variação de  $\omega(t)$  com degrau  $u(t-1)=3$  a  $4$  e  $q(t)=0$

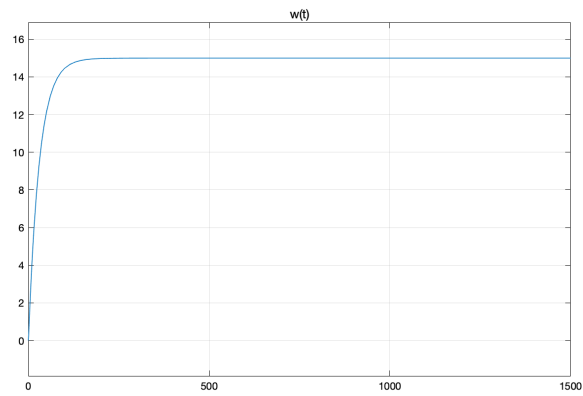


Figura 4: Gráfico da variação de  $\omega(t)$  com  $u(t-1)=4$  a  $5$  e  $q(t)=5$

Podemos observar que os pontos de convergência para  $\omega(t)$  variam bastante com o nível de perturbação presente no sistema.

## Questão 2

Dada a equação linearizada

$$\zeta_L \frac{d\Delta i(t)}{dt} + \Delta i(t) = K_L \Delta u(t) \quad (1)$$

montamos o sistema:

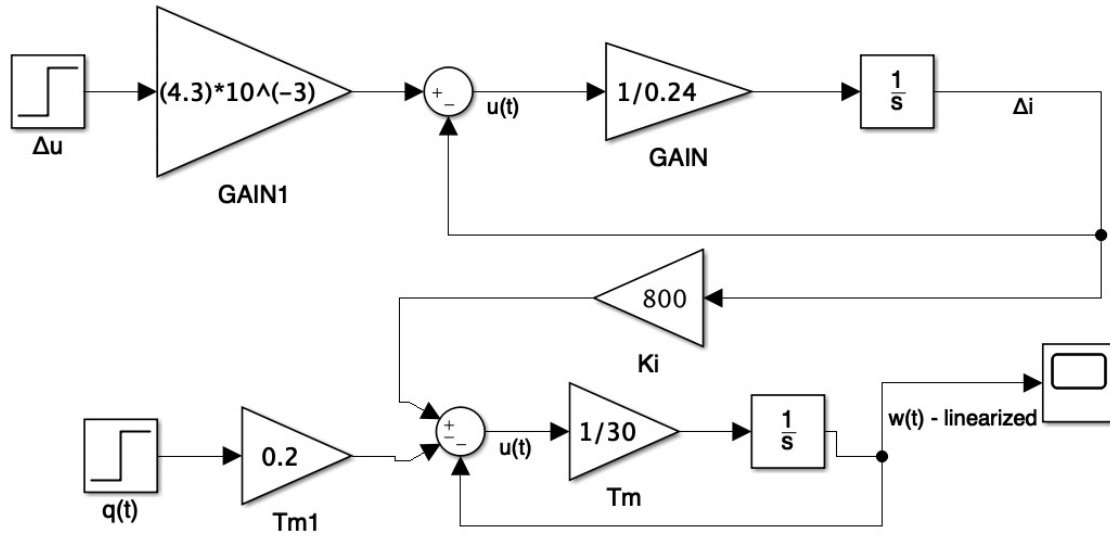


Figura 5: Diagrama do sistema linearizado.

### Questão 3

Podemos observar através da figura que os valores do sistema linearizado não distam muito daqueles da forma não-linearizada. No entanto, não se espera que essa linearização seja precisa para todo o domínio  $i(t) \in [0, 20]mA$ . É esperado que ela seja tão precisa quanto mais perto estivermos do ponto de equilíbrio escolhido  $i = 7.2mA$ .

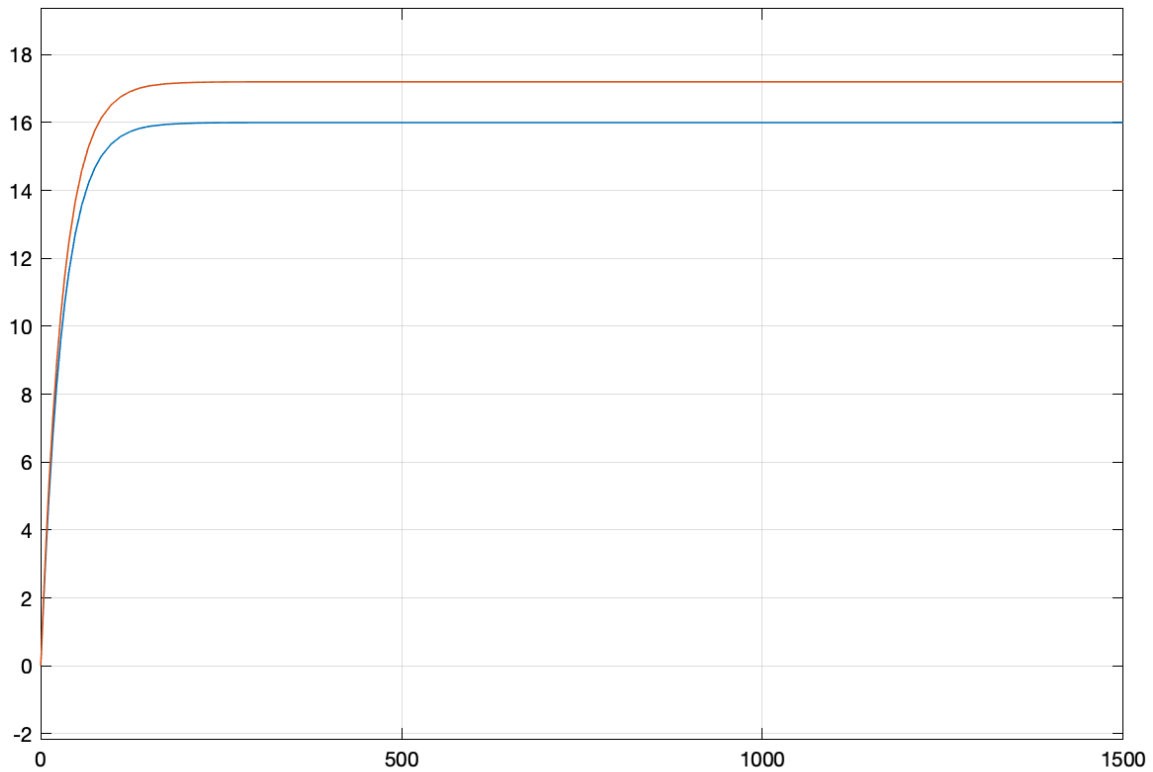


Figura 6: Gráfico da comparação entre o sistema nas formas linearizada e não-linearizada.

## Questão 4

### Itens a e b

Tanto o código utilizado para estudar a simulação do sistema quanto o esquema da planta no Simulink serão úteis para os próximos da questão 4. O código a seguir está implantado na nossa planta no bloco *fcn*. Esse bloco tem duas entradas e duas saídas. Como entrada, ele recebe tanto o estado atual de  $\omega(t)$  como uma informação da memória sobre a atuação sobre o bloco. A saída dessa função envia o sinal de atuação em  $u(t)$  e salva na memória o estado da atuação (ativa ou não). Essa foi a solução encontrada para a implementação de uma estratégia de controle on/off da velocidade angular que a mantivesse entre 5 e 15  $rad/s$ .

O controle é ativado quando a velocidade se encontra abaixo de 5  $rad/s$ . Quando está ativo, envia  $u(t) = 5V$  a fim de retomar  $\omega(t) = 15rad/s$ . Neste patamar, desativamos o controle sobre a nossa variável manipulada  $u(t)$ , até que a velocidade angular se encontre novamente abaixo de 5  $rad/s$ . Cabe ressaltar que este sistema envia  $u(t) = 1V$  quando o controle está inativo a fim de que não encontremos valores negativos no nosso sistema, o

que violaria o domínio da função  $V_D(t)$ .

```
1 function [y1, y2]= fcn(u, m)
2
3     lower_bound = 5;
4     upper_bound = 15;
5     active = m;
6
7     if active
8         y1 = 5;
9     else
10        y1 = 1;
11    end
12
13    if u>=upper_bound
14        active = 0;
15    elseif u<=lower_bound
16        active = 1;
17    end
18
19    y2 = active;
```

Código 1: Código usado para controlar a planta

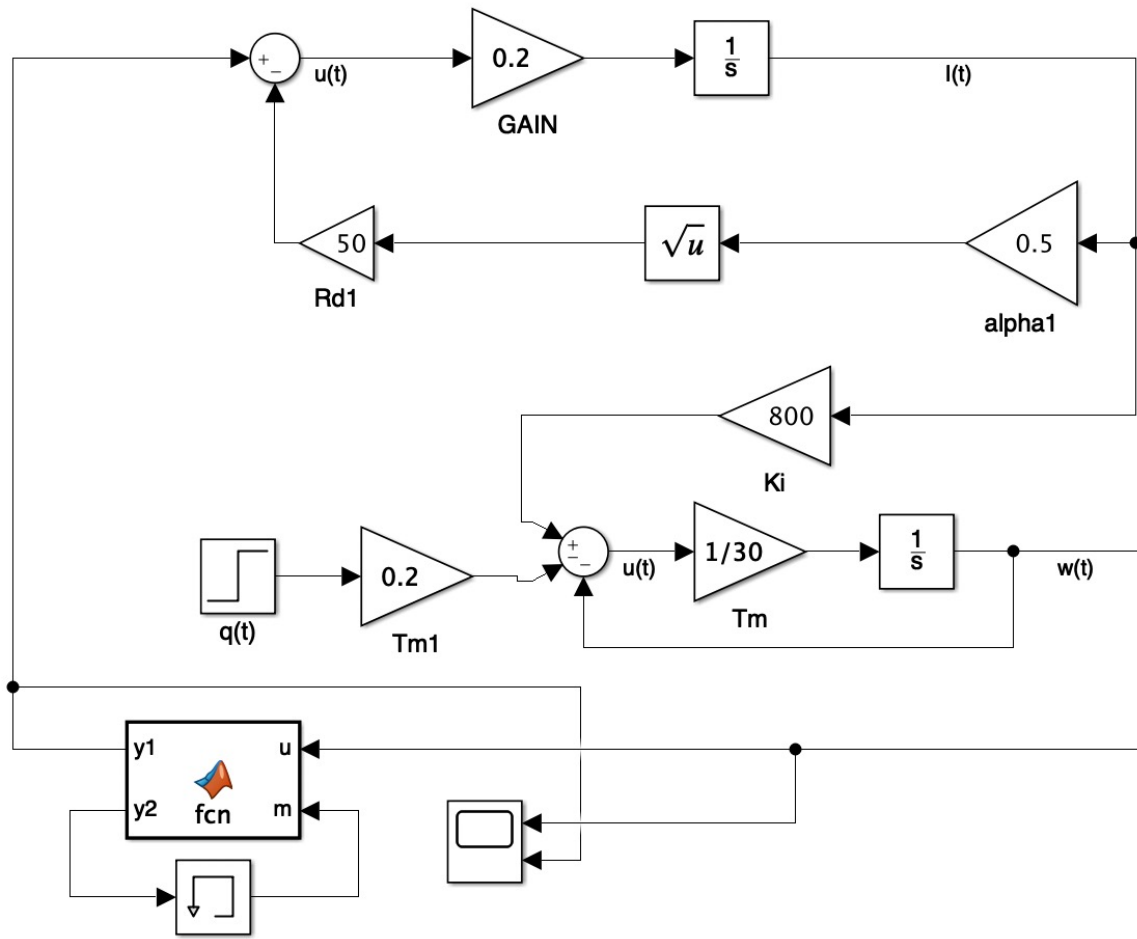


Figura 7: Esquema da planta no Simulink.

### Item a

Podemos observar que neste gráfico as variáveis manipulada ( $u(t)$ ) e controlada ( $\omega(t)$ ) da planta para  $\tau_q = 90s$  e uma perturbação de  $Q(t) = 1N.m$ .

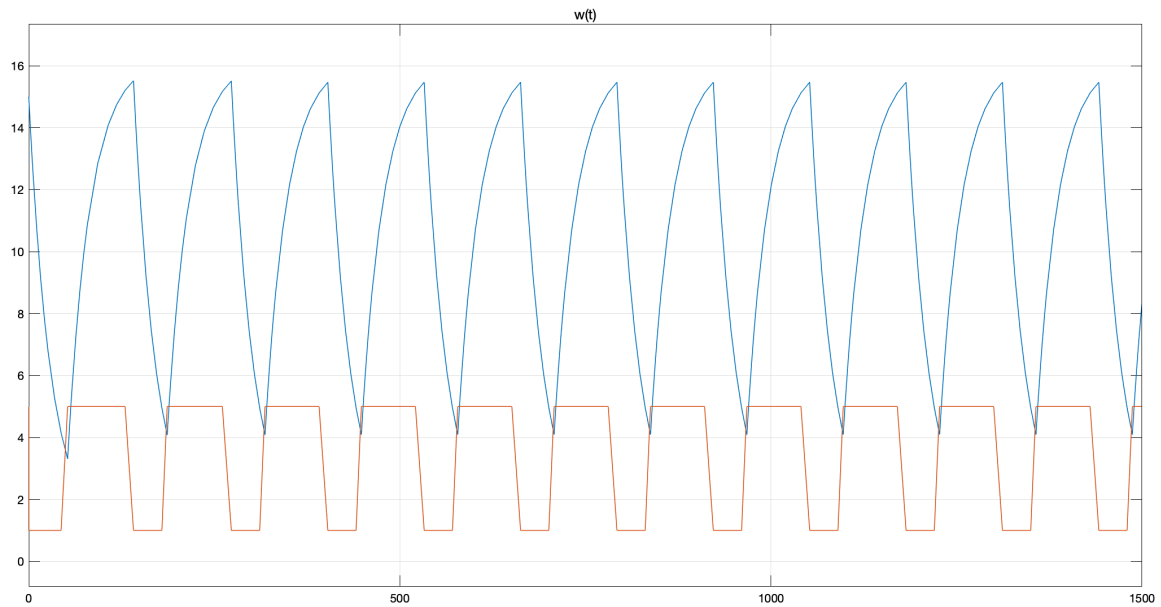


Figura 8: Gráfico de  $u(t)$  (em vermelho) e  $\omega(t)$  (em azul), respectivamente, para  $Q(t) = 1N.m$

### Item b

Neste gráfico, fazemos uma simulação do sistema com os mesmos parâmetros que o anterior, alterando apenas a perturbação  $Q(t)$  para  $Q(t) = 5N.m$ . É interessante notar como o tempo de atuação sobre a variável manipulada aumenta sensivelmente entre a situação anterior e a atual. Isso é esperado, pois aqui situação há uma maior perturbação no sistema.



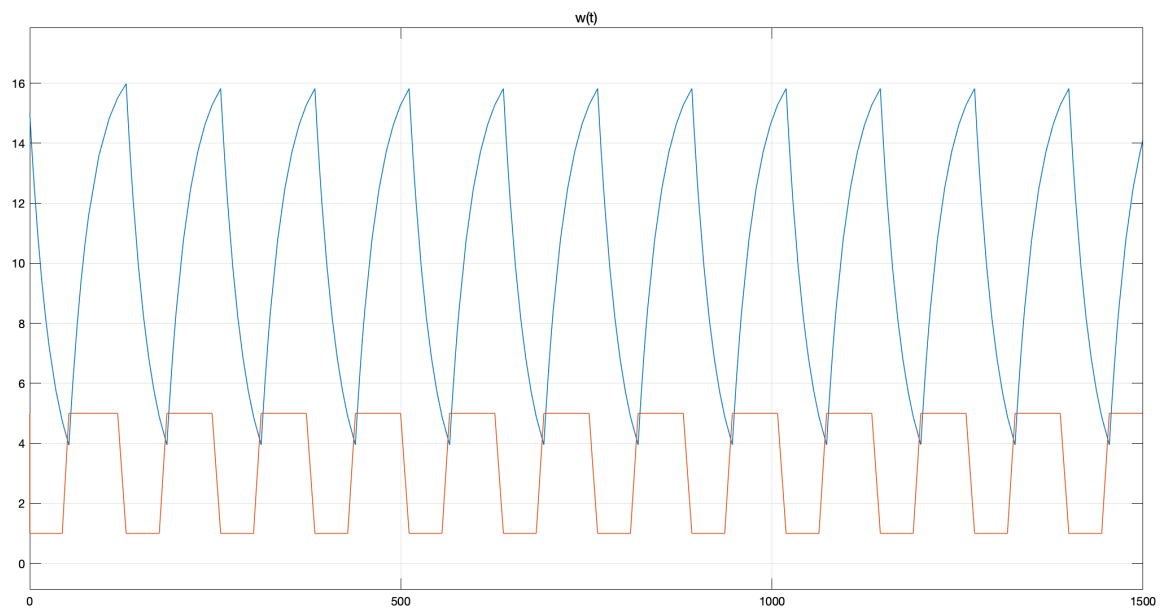


Figura 9: Gráfico de  $u(t)$  (em vermelho) e  $\omega(t)$  (em azul), respectivamente, para  $Q(t) = 5N.m$

Item c

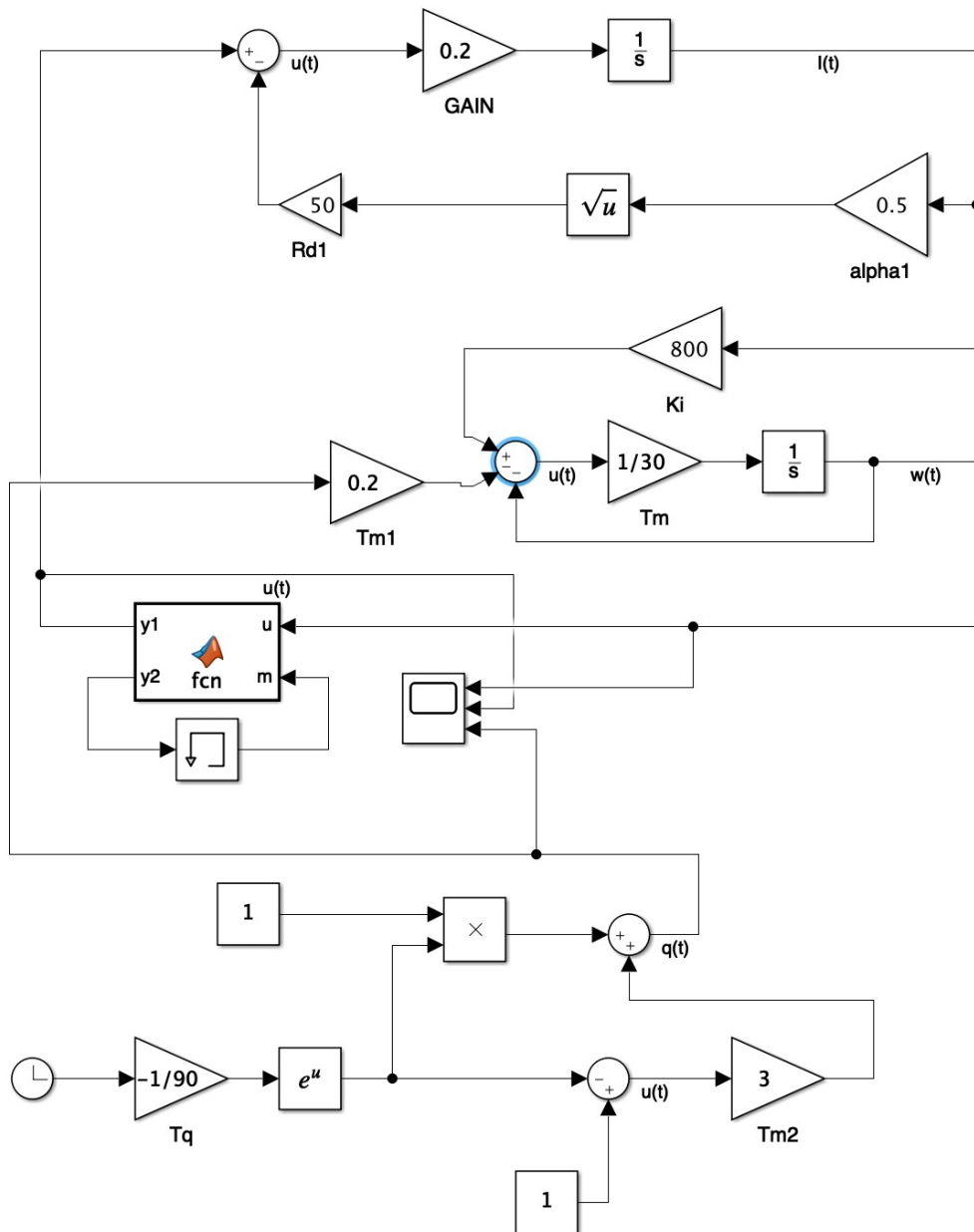


Figura 10: Esquema da planta no Simulink.

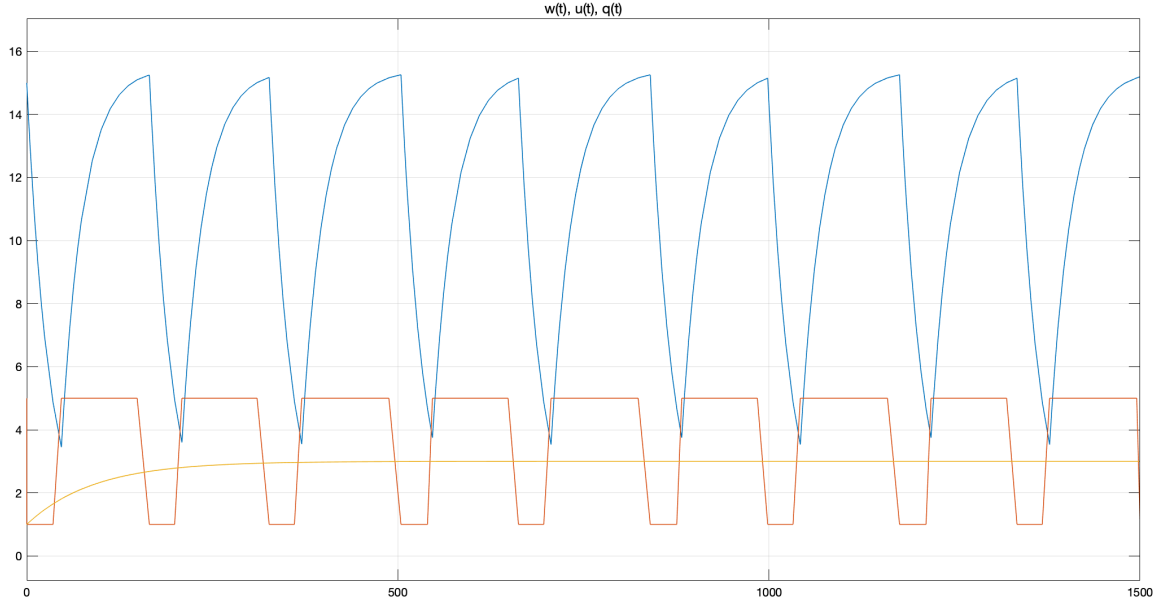


Figura 11: Gráfico de  $u(t)$  (em vermelho) e  $\omega(t)$  (em azul) e  $q(t)$  (em amarelo.)

## Questão 5

Sabemos que  $V_D(t) + V_L(t) - u(t) = 0$ . Mas como estamos em um ponto de equilíbrio,  $V_L(t) = L \frac{di}{dt}(t) = 0$ . Portanto,  $V_D(t) = u(t)$ .

E sabemos que  $i(t)$  está dado na relação  $V_D(t) = R_D \sqrt{\alpha i(t)}$ . Isolando  $i(t)$ , temos:

$$\left(\frac{V_D(t)}{R_D}\right)^2 \cdot \frac{1}{\alpha} = i(t) \quad (2)$$

Como  $V_D(t) = u(t)$ , teremos  $\left(\frac{u(t)}{R_D}\right)^2 \cdot \frac{1}{\alpha} = i(t)$ . Mas nos interessa controlar a velocidade em malha aberta segundo a lei  $u(t) = K_{MA} r(t)$ . Teremos, portanto,

$$\left(\frac{K_{MA} r(t)}{R_D}\right)^2 \cdot \frac{1}{\alpha} = i(t) \quad (3)$$

Como  $\omega(t) = K_i i(t) + K_q q(t)$ , pois estamos em um ponto de equilíbrio (isto é,  $\frac{d\omega}{dt} = 0$ ), teremos

$$\omega(t) = K_i \left( \left( \frac{K_{MA} r(t)}{R_D} \right)^2 \cdot \frac{1}{\alpha} \right) + K_q q(t) \quad (4)$$

Isolando  $K_{MA}$ :

$$K_{MA} = \frac{R_D}{r(t)} \sqrt{\frac{\alpha(\omega(t) - K_q q(t))}{K_i}} \quad (5)$$

